

DFBÇ Tabanlı Tam Çift Yönlü Kablosuz Sistemlerde Kalıntı İ işaret Gürültüsü

Residual Signal Noise in OFDM Based Full-Duplex Wireless Systems

Hayrettin Ayar
Sabancı Üniversitesi
Mühendislik ve Doğa Bilimleri Fakültesi
İstanbul, Türkiye
hayrettinayar@sabanciuniv.edu

Özgür Gürbüz
Sabancı Üniversitesi
Mühendislik ve Doğa Bilimleri Fakültesi
İstanbul, Türkiye
ozgur.gurbuz@sabanciuniv.edu

Özetçe — Tam Çift Yönlü iletişimde (TÇY) öz girişim (ÖG) giderimi adımlarından birisi sayısal ÖG giderimidir (SÖGG). Dikgen Frekans Bölmeli Çoklama (DFBÇ) bazlı sistemlerde TÇY iletimi gerçekleştirebilmek amacıyla SÖGG teknikleri uygulanlığında, önemli miktarda ÖG giderim sağlanmasıına rağmen, kalıntı ÖG işaretinde iki DFBÇ simbolü arasındaki geçişlerde nispeten yüksek seviyelerde periyodik dalgalanmalar gözlenmektedir. Bu dalgalanmalar, iletişim sağlanan iki uç birim arasındaki yayılma gecikmesine bağlı olarak, alımmak istenen işarette ait veri bölge-sine denk gelerek ciddi girişim yaratmaktadır. Bu çalışmada, dalgalanmaları azaltmak için daha önceden önerilmiş olan çözüm, farklı SÖGG tekniklerinin farklı modülasyon tipleri ve kodlamalar sistemlerde uygulandığı simülasyonlarla değerlendirilmiştir.

Anahtar Kelimeler — tam çift yönlü, sayısal öz girişim giderimi, dikgen frekans bölmeli çoklama, kalıntı işaret gürültüsü.

Abstract — One of the steps for suppressing the self-interference (SI) in Full-duplex (FD) communication is digital SI cancellation (DSIC). In orthogonal frequency division multiplexing (OFDM) based FD systems, despite providing significant SI cancellation, the residual SI after DSIC produces significantly high amount of periodic ripples at the transitions between two OFDM symbols. These ripples coincide with the data region of the desired signal when the propagation delay increases between two communicating nodes. In this work, digital SI cancellation performance of the previously proposed ripple reduction solution is evaluated for different communication schemes, considering various DSIC techniques over different modulation types and coding rates.

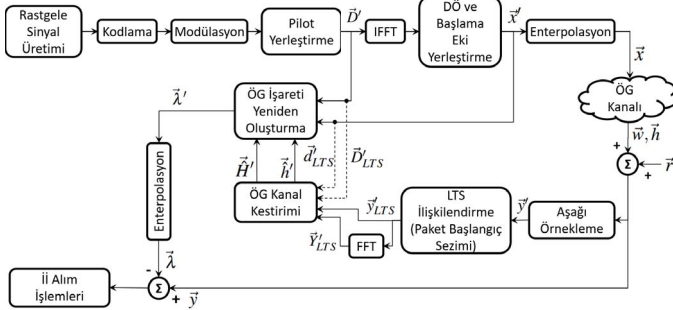
Keywords — full-duplex, digital self-interference cancellation, orthogonal frequency division multiplexing, residual signal noise.

Bu çalışmanın ilk sonuçları İngilizce olarak 2019 yılında BalkanCom konferannda sunulmuş olup, DÖ gürültü azaltma (DÖGA) çözümü tek bir DFBÇ hava ara yüzü üzerinde incelenmiştir. Bu bildiride, DÖGA başarım analizi için farklı modülasyon tipleri ve kodlama oranları ile elde edilen yeni sonuçlar eklenmiştir. Çalışmanın destek bilgisi çift taraflı gizlilik ilkesi kapsamında gizlenmiştir.

I. Giriş
İletişim ağlarında yüksek veri hızlarına olan talebin artması, bu yöndeği çalışmalar hızlandırmış durumdadır. Önerilen çözümlerden biri, bir radyo frekansı (RF) alıcı-vericisinin aynı bant içerisinde aynı anda işaret alıp verişini yapabildeği Tam Çift Yönlü (TÇY) kablosuz iletişimdir [1], [2]. Bununla birlikte, aynı verici uç birimi üzerindeki alıcı zincirinde yüksek düzeyde bir öz girişim (ÖG) oluştuğundan, karşı uç birimden gelen istenen işaret (İİ) başarıyla alabilemek için önemli miktarda ÖG bastırımı gerekmektedir [1], [3]. Bu amaçla alıcıda farklı aşamalarda ÖG bastırma teknikleri uygulanmakta olup, bunlar, 1) Anten seviyesinde pasif bastırma [4], 2) RF seviyesinde analog giderim [5] ve 3) Temel bant seviyesinde sayısal ÖG giderimi (SÖGG) [4], [6], [7] teknikleridir.

Mevcut kablosuz sistemlerin çoğu, hava arayüzü Dikgen Frekans Bölmeli Çoklama (DFBÇ) teknigine dayanmaktadır [8], [9]. Bu nedenle, TÇY iletişimde kullanılan SÖGG tekniklerinin çoğu yine DFBÇ tabanlı olarak tasarlanmıştır [6], [7], [10], [11]. Bu teknikler öncelikle ÖG kanal kestirimi ve sonrasında ÖG işaretinin yeniden oluşturulması ve nihai olarak yeniden oluşturulan işaretin alınan işaretten çıkarılması adımlarını takip etmektedirler.

SÖGG teknikleri incelediğinde, ÖG gideriminden sonra geriye kalan ÖG işaretin periyodik dalgalanmalar gözlenmektedir. Dalgalanmalar, döngüsel önek (DÖ) bölgesine karşılık gelen iki DFBÇ simbolü arasındaki geçiş bölgeinde görülmektedir; bu nedenle bu etki DÖ gürültüsü olarak adlandırılmıştır [12]. Önceki çalışmalarında, iletişim yapan üç birimlerin senkronize olduğu varsayılmıştır. Üç birimlerdeki paketler tam olarak senkronize edilmede veya yayılma gecikmesinden dolayı paketler hizalı olmadığından, kalan ÖG işaretindeki DÖ gürültüsü İİ işaretinin veri kısmını etkilemektedir. Bu nedenle, bir önceki çalışmada [12], TÇY üç birimlerin eşzamansız olarak da çalışmasını sağlamak için DÖ gürültüsünün tüm SÖGG teknikleri üzerinde ortadan kaldırılması amacıyla iki adımdan oluşan DÖ Gürültü Azaltma (DÖGA) çözümü önerilmiş ve IEEE 802.11g standarı baz alınan temel bant sistem modeli üzerinde, sadece 16-QAM modülasyon tipi üzerinde ayrıntılı benzetimler gerçekleştirılmıştır. Benzetimler ile, önerilen DÖGA çözümünün DFBÇ tabanlı TÇY radyolarında



Şekil. 1. IEEE 802.11g DFBÇ sistem modeli temel alınarak oluşturulan TÇY alıcı-verici sistem modeli.

kullanılan SÖGG tekniklerinin performansını önemli ölçüde artırmış olduğu, frekans tabanlı SÖGG tekniklerinde 15 dB'ye ve zaman tabanlı SÖGG teknikleri için 4.5 dB'ye kadar kazanç sağlandığı gösterilmiştir. Bu çalışmada da DÖGA performansı IEEE 802.11g hava ara yüzünün farklı -BPSK, QPSK ve 16-QAM- modülasyon tipleri ve farklı (her bir modülasyon tipi için 1/2 ve 3/4) kodlama oranları uygulanarak incelenmiştir.

II. SİSTEM MODELİ

Bu bölümde, IEEE 802.11g standarı [8] ile tanımlı yarı çift yönlü DFBÇ sistem modeli üzerinde geliştirilen TÇY SÖGG algoritmaları anlatılmıştır. Şekil 1'de DFBÇ tabanlı TÇY alıcı-verici temel bant seviyesi blok diyagramı gösterilmektedir. Bu modelde, alınan \vec{y} işaretin aşağıdağı gibi ifade edilir:

$$\vec{y} = \vec{x} * \vec{h} + \vec{r} + \vec{w}. \quad (1)$$

Burada \vec{h} , bilinen gönderim işaretin \vec{x} 'e etki eden OG kanalının dürtü yanıtını temsil eder. \vec{r} alınacak olan İİ işaretidir. \vec{w} ise ilave beyaz Gauss gürültüsüdür (IBGG). Burada $*$ evrişim operatördür.

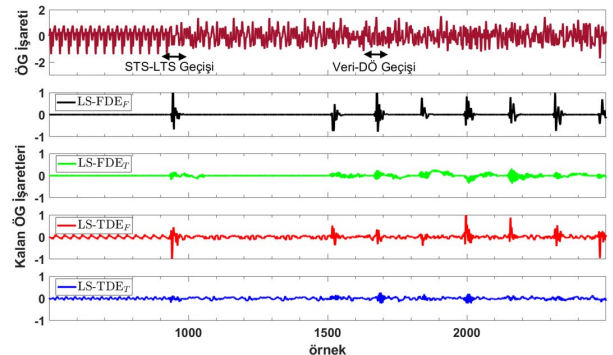
Alınan sinyal aşağı örneklenerek azaltılır ve \vec{y}' elde edilir. Daha sonra, Uzun Eğitim Dizisi (Long Training Sequence, LTS) ilişkilendirme işlemi yardımıyla paket başlangıcı tespit edilerek LTS sembollerı paketten alınır ve ortalaması elde edilir. Ortalama LTS sembolü kanal kestiriminde kullanılır. Kanal kestirimi ve gönderilen işaretler kullanılarak yeniden oluşturulan OG işaretin $\vec{\lambda}'$, zaman tabanına ait bir işaretidir:

$$\vec{\lambda}' = \text{IFFT}\{\vec{\Lambda}' = \vec{D}' \cdot \vec{H}'\} \quad \text{veya} \quad \vec{\lambda}' = \vec{h}' * \vec{x}'. \quad (2)$$

Denklem (2)'de görüleceği üzere $\vec{\lambda}'$ işaretin zaman tabanlı bilinen gönderim işaretin \vec{x}' ile OG kanalı dürtü yanıtı \vec{h}' 'den evrişim yoluyla elde edilebilir. Aynı zamanda, frekans tabanlı bilinen gönderim işaretin \vec{D}' ile OG kanal kestirimi \vec{H}' 'nin çarpım sonucunun zaman tabanına dönüştürülmesi şeklinde de ifade edilebilir. $\vec{\lambda}'$ enterpole edilerek $\vec{\lambda}$ oluşturulur. Ardından $\vec{\lambda}$ işaretin alım işaretinden çıkarılır:

$$\vec{y} - \vec{\lambda} = \vec{r} + \vec{w} + \vec{x}^{res}. \quad (3)$$

Denklem (3)'teki çıkarma işleminden sonra kalan işaret, işlenecek olan İİ işaretin \vec{r} 'den, kalan OG işaretin \vec{x}^{res} 'den ve IBGG işaretin \vec{w} 'den oluşmaktadır. İİ'nin işlenmesi mevcut IEEE 802.11g DFBÇ sisteminde olduğu gibi gerçekleştirilmektedir (Şekil 1) [8]. Ancak, yalnızca SÖGG performansına



Şekil. 2. Farklı SÖGG tekniklerinde (LS-FDE_F, LS-FDE_T, LS-TDE_F, LS-TDE_T) DÖ gürültüsü.

odaklanmak amacıyla simülasyonlarda \vec{r} işaretin sıfır olarak kabul edilmiştir.

Kanal kestiriminde en küçük kareler (least squares, LS) algoritmasının, diğer alternatiflerle karşılaştırıldığında ([13]) en iyi performansı verdiği ve daha düşük karmaşıklığı sağladığı gösterilmiştir [11]. OG kanal kestiriminin ve yeniden oluşturmanın gerçekleştirildiği bölgelerin kombinasyonlarına bağlı olarak ve her birine LS uygulayarak elde edilen LS-FDE_T (frekans-zaman) [4], LS-TDE_T (zaman-zaman) [3], [7], LS-FDE_F (frekans-frekans) [6], [11] ve LS-TDE_F (zaman-frekans) [6], [11] teknikleri ayrıntılı olarak değerlendirilmiştir.

LS-FDE'de frekans tabanlı OG kanal kestirimi \vec{H}'_{LS-FDE} , \vec{Y}'_{LTS} ile bilinen gönderim LTS sembollerı \vec{D}'_{LTS} işaretlerinin birbirleri ile karşılaşılması sonucu elde edilir [6]. \vec{H}'_{LS-FDE} 'nin zaman tabanındaki karşılığı \vec{h}'_{LS-FDE} dürtü yanıtı ile ifade edilir: $\vec{H}'_{LS-FDE} = \frac{\vec{Y}'_{LTS}}{\vec{D}'_{LTS}} \rightarrow \vec{h}'_{LS-FDE} = \text{IFFT}\{\vec{H}'_{LS-FDE}\}$. Bu ifadedeki \vec{H}'_{LS-FDE} veya \vec{h}'_{LS-FDE} , OG işaretinin frekans veya zaman tabanında yeniden oluşturulmasında (2) denkleminde kullanılabilir.

Zaman tabanında ise, alım işaretin, (1)'deki gibi evrişim ile temsil edilmiştir. Bu ifade, bir matris çarpım şeklinde de ifade edilebilir. Bu durumda \vec{y}'_{LTS} , bilinen LTS sembolünün (\vec{d}'_{LTS}) döngüsel olarak tekrarlanması ile elde edilen \vec{X}'_{LTS} matrisi ile kanal dürtü yanıtı \vec{h}' 'nin çarpımı şeklinde gösterilir [11]. Burada, \vec{X}'_{LTS} Toeplitz matrisidir. Zaman tabanlı OG kanalı dürtü yanıtı \vec{h}'_{LS-TDE} ve frekans tabanlı kanal kestirimi \vec{H}'_{LS-TDE} şu şekilde hesaplanır: $\vec{h}'_{LS-TDE} = \vec{X}'_{LTS}^\dagger \cdot \vec{y}'_{LTS} \rightarrow \vec{H}'_{LS-TDE} = \text{FFT}\{\vec{h}'_{LS-TDE}\}$. Burada, \vec{X}'_{LTS}^\dagger , \vec{X}'_{LTS} matrisinin Moore-Penrose (sözde) tersidir. OG işaretin yeniden oluşturulma tekniğine bağlı olarak, \vec{H}'_{LS-TDE} veya \vec{h}'_{LS-TDE} 'den biri (2)'de kullanılmak üzere seçilebilir ve $\vec{\lambda}'$ oluşturulur.

III. DÖNGÜSEL ÖNEK GÜRÜLTÜSÜ VE AZALTILMASI

Şekil 2'de SÖGG teknikleri sonucunda (3) ile elde edilen \vec{x}^{res} kalıntı OG işaretleri incelendiğinde, DFBÇ sembollerünün sonundan bir sonraki sembole ait DÖ'ye geçiş yapılan bölgelerde nispeten yüksek seviyelerde periyodik işaretler gözlenir. Geçişin bir sonucu olarak haberleşme kanalındaki koruyucu alt taşıyıcılarında artış olmaktadır. Mevcut LTS eğitim sembolü kullanılarak gerçekleştirilen OG kanal kestirimi geçiş

bölgelerini yeterince kapsayamadığından, ÖG işaretin düzgün bir şekilde yeniden oluşturulamamaktadır ve bu da DÖ gürültüsü olarak adlandırılan dalgalanmalara neden olmaktadır [12]. Denklem (2)'nin son teriminde görüldüğü gibi, bilinen işaret kanal dürtü yanıt ile evriştilir. Bu durumda, kanalın yayma etkisi yeniden oluşturma sırasında geçiş bölgelerine rahatlıkla uygulanabilir. Bu nedenle, zaman tabanlı ÖG işaretin yeniden oluşturmada, yalnızca gelişmiş kanal kestirimini yeterlidir. Bununla birlikte, (2)'nin ilk teriminde görüldüğü gibi, frekans tabanlı ÖG yeniden oluşturmada, kestirilen ÖG kanal katsayıları bilinen işaretin sembol sembol uygulanarak yeniden oluşturma gerçekleştirilebilir ve zaman tabanına dönüştürülükten sonra sembolün son kısmı kopyalanarak DÖ olarak başa eklenir. Bu durum, önceki DFBÇ sembolünün kanaldan kaynaklanan yayılma etkisini bozmaktadır. Bu nedenle, DÖ gürültüsünü azaltmak için, frekans tabanlı ÖG işaretin yeniden oluşturmada, gelişmiş kanal kestiriminin yanı sıra gelişmiş bir yeniden oluşturma tekniği gereklidir.

DÖ gürültü azaltma (DÖGA) çözümü iki adımdan oluşmaktadır [12]. İlk adımda daha etkin bir ÖG kanal kestirimini için LTS sembolünde bant dışı kanallara girişimi önlemek için boş bırakılan koruma alt taşıyıcılarına fazladan eğitim sembolü tonları eklenmektedir. Bununla birlikte, mevcut filtre, geçiş bandındaki koruyucu alt taşıyıcılar için düz değildir. Bu nedenle, yukarı örnekleme ile oluşan işaret yansımاسını baskılanan ve eklenen tonlar boyunca düz kalan başka bir keskin interpolasyon filtresi kullanılmaktadır. Filtre, zaman alanındaki semboller arası girişimi önleyecek yapıdadır ve ideal filtre üzerinde genişlemeyi sağlayan bir bant sınırlama faktörü (β) ile ayarlanmaktadır. İkinci adımda, frekans tabanlı ÖG işaretin yeniden oluşturma işleminde, DÖ sembolü doğrudan yeniden oluşturulmuş OFDM sembolünün kendisinden kopyalanmak yerine, bir önceki DFBÇ sembolüyle birlikte yeniden oluşturulmaktadır.

IV. BAŞARIM ANALİZİ

MATLAB simülasyonlarıyla, ilave beyaz Gauss gürültüsü (İBGG) ve çok yolu kanallar altında tüm DÖGA'lı ve DÖGA'sız SÖGG teknikleri için farklı modülasyon tipleri ve kodlama oranları uygulanarak elde edilmiş sayısal ÖG giderim performans sonuçları karşılaştırılmıştır. Simülasyonlarda, [14]'te sunulan kılavuzlanmış gecikmeli hat (Tapped Delay Line, TDL) kanal modeli kullanılmıştır. TDL modelinde çok yolu kanalın alçak geçirgen dürtü yanıtını aşağıdaki gibi ifade edilir:

$$h = \sum_{p=0}^{P_{\max}-1} \alpha_p \delta(t - \tau_p) \quad (4)$$

Burada, her birinin zamanla değişmez olduğu varsayımlı altında, P_{\max} çok yolu maksimum bileşen sayısına, τ_p ise p yolunun çok yolu gecikmesine karşılık gelmektedir. p , ayrık yol indeksidir, α_p hem genlik hem de faz etkilerini içeren alçak geçirgen karmaşık kanal katsayısidır. [15]'te önerilen IEEE 802.11 iç-ortam kanal modeli, TDL modeli ile birleştirilerek α_p için güç gecikme profilini (Power Delay Profile, PDP) üretmek üzere üstel model olarak kullanılmıştır. Kanalın gücü çok yolu gecikme ile $A(p) = \frac{1}{\sigma_\tau} \exp^{-pT_s/\sigma_\tau}$, $p = 0, 1, \dots, P_{\max} = [10\sigma_\tau/T_s]$ şeklinde katlanarak azalmaktadır. Burada σ_τ rms gecikme yayılımı ve T_s örnekleme zamanıdır. Maksimum aşırı gecikme, rms gecikme yayılımının on katıdır [15]. Her bir α_p

katsayısi için p^{nci} kanal kılavuzlama gücüne ait ortalamanın sıfır ve varyansın $\sigma_p^2/2$ olduğu varsayılmaktadır.

Simülasyonlar, Şekil 1'de gösterilen IEEE 802.11g standartı ile tanımlı yarı çift yönlü DFBÇ sistem modeli ile gerçekleştirilmştir. Simülasyonda kullanılan temel parametrelerin bir listesi Tablo I'de sunulmaktadır. SÖGG performans sonuçları 100 adet simülasyon koşmasının ortalaması alınarak elde edilmiştir.

TABLO I. SIMULASYON PARAMETRELERİ

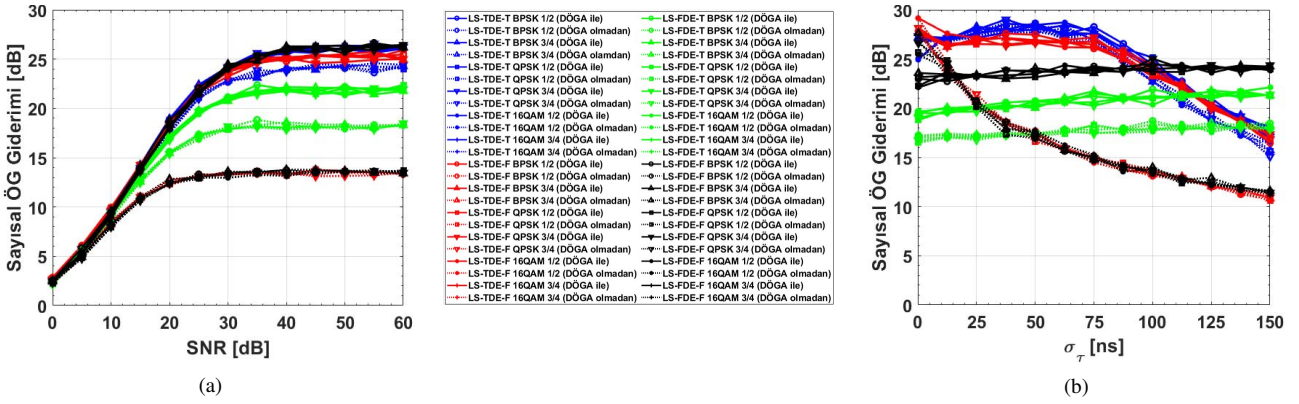
DFBÇ Sembol Sayısı (N)	100
LTS Sembol Sayısı (N_{LTS})	4
STS Sembol Sayısı (N_{STS})	30
Alt Taşıyıcı Sayısı (K)	64
DÖ Örnek Sayısı (K_{CP})	16
DFBÇ Örnek Sayısı (K_{SYM})	80
Örnekleme Zamanı (T_s)	25 ns
Filtre Yayma Faktörü (β)	0.93
Veri (veya LTS) Alt Taşıyıcı Sayısı	48
Pilot Alt Taşıyıcı Sayısı	4
Koruma Alt Taşıyıcı Sayısı	11
Doğru Akım Alt Taşıyıcı Sayısı	1
Eklelen Eğitim Alt Taşıyıcı Sayısı	8
Modülasyon Tipi	BPSK, QPSK, 16-QAM
Kodlama Oranı	1/2, 3/4

Kanal modelinin gerçekleştirilmesi için, ÖG işaret-gürültü oranı (SNR) değeri, 0-60 dB arasında değiştirilmiştir. Bu nedenle, simülasyonlarda İBGG gücü buna göre sağlanmıştır. Temel bant sinyali 20 MHz bant genişliğine sahiptir ve 40 MHz işaret elde etmek için 2 ile örnekleme yapılmaktadır. Bu nedenle, örnekleme periyodu T_s 25 ns'dir. PDP değeri, T_s ve 0-150 ns arasında değişen rms gecikme yayılması σ_τ 'ya bağlı olarak kanal modelindeki gibi hesaplanmaktadır.

IEEE 802.11g standardında, 20 MHz iletişim bandında 64 adet alt taşıyıcı bulunmaktadır ve LTS semboller 48 alt taşıyıcıya yerleştirilmiştir. Kanalda, standart DFBÇ işlemeye faz düzeltmesinde kullanılmak üzere 4 adet pilot alt taşıyıcı ayrılmıştır. Kanaldaki koruma alt taşıyıcıları olarak toplam 11 alt taşıyıcı boş tutulmaktadır. Doğru akımdan (DC) kaçınmak için tam olarak kanalın ortasında bulunan 1 alt taşıyıcı da ayrıca boşta bırakılmıştır. İletilen işarette, bir önceki DFBÇ sembolünden bir sonraki DÖ sembolüne geçişteki etkiye kestirmek için kanaldaki 8 koruma alt taşıyıcılarına (28, 29, 30, 31, 35, 36, 37 ve 38) eğitim tonları eklenmiştir. Bu şekilde, bitişik kanallara girişimin de engellenmesi sağlanmaktadır. Ayrıca, daha keskin bir filtre yanıt elde etmek için interpolatör filtresinin bant sınırlı faktörü $\beta = 0.93$ olarak değiştirilmiştir.

Şekil 3'te, sayısal giderim miktarı, alınan ÖG işaret gücünün, giderimden sonra kalan ÖG işaret gücüne oranı olarak doğrusal ölçekte hesaplanmıştır ve grafiklerde dB ölçünde sunulmuştur.

Şekil 3 (a)'daki sonuçlar $\sigma_\tau = 100$ ns sabit tutularak elde edilmiştir. Bu sonuçlara bakıldığından, önerilen DÖGA çözümünün SÖGG tekniklerine dahil edilmesinin özellikle frekans tabanlı işlemler için etkili olduğu sonucuna varılabilir. Özellikle LS-FDE_F için, DÖGA'lı SÖGG'nin DÖGA'sız SÖGG üzerindeki kazancı 13 dB civarında görülmektedir. Bununla birlikte, LS-TDE_F için DÖGA'lı SÖGG eğrisi için kazanç 12



Şekil. 3. Farklı SÖGG teknikleri için DÖGA ile ve DÖGA olmadan elde edilen sayısal ÖG giderimi (a) SNR'a göre, $\sigma_\tau = 100$ ns (b) σ_τ 'ya göre, SNR = 30 dB.

dB olmaktadır. Zaman tabanlı ÖG yeniden oluşturma işleminde, örneğin LS-FDE_T ve LS-TDE_T tekniklerinde yalnızca ton ekleme adımı uygulanır. LS-FDE_T teknigi için DÖGA'lı giderim kazancı yaklaşık 4 dB'dir. LS-TDE_T için kazanç yaklaşık 2.5 dB'dir. Şekil 3 (b)'de, *rms* gecikme yayılım değeri σ_τ 'nın 0 ile 150 ns değerleri için elde edilen DÖGA'lı ve DÖGA'sız sayısal giderim performansı gözlemlenmektedir. Bu simülasyonda SNR = 30 dB olarak sabit tutulmuştur. Şekil 3 (b)'de görüldüğü gibi, σ_τ artırıldıkça, LS-FDE_F ve LS-TDE_F için 15 dB'ye yaklaşan bir iyileştirme elde edilmiştir. Bununla birlikte, σ_τ arttıkça, LS-FDE_F tekniginde kazancın arttığı, LS-TDE_F tekniginde ise kazancın azaldığı gözlemlenmektedir. Bunun nedeni, LS-FDE_F'nin LS-TDE_F'e nazaran çok yolu gecikmelerle karşı daha dayanıklı olmasıdır [6]. Bunun yanında, LS-FDE_T ve LS-TDE_T için sırasıyla 4.5 dB ve 2.8 dB iyileşme gözlenmektedir. Bunun nedeni, DÖ gürültüsünün zaman tabanlı yeniden oluşturma tekniklerinde önemli bir problem teşkil etmemesidir (Şekil 2). Her iki grafikte de, kullanılan modülasyon tiplerinin ve kodlama oranlarının sayısal ÖG giderim performansını etkilemediği görülmektedir.

V. SONUÇLAR

Bu çalışmada, TÇY radyolarda SÖGG tekniklerini iyileştirmek için DÖ gürültüsünü ortadan kaldırın bir çözüm üzerinde IEEE 802.11g standardına uygun temel bant model kullanılarak BPSK, QPSK ve 16-QAM modülasyon tipleri ve 1/2 ve 3/4 kodlama oranları için performans testleri değerlendirilmiştir. MATLAB simülasyonları, DÖGA kullanımının SÖGG performansını, frekans tabanlı teknikler için 15 dB'ye kadar, zaman tabanlı teknikler için 4.5 dB'ye kadar iyileştirdiğini göstermiştir. Böylece, daha yüksek çok yolu kanallarda, frekans tabanlı SÖGG teknikleri performansındaki belirgin iyileşme yardımıyla zaman tabanlı SÖGG tekniklerinin önüne geçilmiştir. Bununla birlikte, uygulanan farklı modülasyon tipleri ve kodlama oranları sayısal ÖG giderim performansını değiştirmemektedir.

KAYNAKLAR

- [1] Sabharwal, A., Schniter, P., Guo, D., Bliss, D. W., Rangarajan, S., and Wichman, R., "In-band full-duplex wireless: Challenges and opportunities," *IEEE Journal on Selected Areas in Communications*, vol. 32, no. 9, pp. 1637–1652, 2014.
- [2] Zhang, Z., Long, K., Vasilakos, A. V., and Hanzo, L., "Full-Duplex Wireless Communications: Challenges, Solutions, and Future Research Directions," *Proceedings of the IEEE*, vol. 104, no. 7, pp. 1369–1409, 2016.
- [3] Bharadia, D., McMilin, E., and Katti, S., "Full duplex radios," *Proceedings of the ACM SIGCOMM 2013 conference on SIGCOMM - SIGCOMM '13*, vol. 43, no. 4, p. 375, 2013.
- [4] Duarte, M., Dick, C., and Sabharwal, A., "Experiment-driven characterization of full-duplex wireless systems," *IEEE Transactions on Wireless Communications*, vol. 11, no. 12, pp. 4296–4307, 2012.
- [5] Choi, J. I., Jain, M., Srinivasan, K., Levis, P., and Katti, S., "Achieving single channel, full duplex wireless communication," *Proceedings of the sixteenth annual international conference on Mobile computing and networking - MobiCom '10*, p. 1, 2010.
- [6] Amjad, M. S. and Gurbuz, O., "Linear digital cancellation with reduced computational complexity for full-duplex radios," *IEEE Wireless Communications and Networking Conference, WCNC*, no. 215, 2017.
- [7] Ahmed, E., Eltawil, A. M., and Sabharwal, A., "Self-interference cancellation with nonlinear distortion suppression for full-duplex systems," *Conference Record - Asilomar Conference on Signals, Systems and Computers*, pp. 1199–1203, 2013.
- [8] IEEE, "802.11g - IEEE Standard for Information technology - Local and metropolitan area networks- Specific requirements - Part 11: Wireless LAN Medium Access Control (MAC) and Physical Layer (PHY) Specifications: Further Higher Data Rate Extension in the 2.4 GHz," tech. rep., 2003.
- [9] Fazel, K. and Kaiser, S., *Multi-Carrier and Spread Spectrum Systems: from OFDM and MC-CDMA to LTE and WiMAX*. Chichester, UK: John Wiley and Sons, Ltd, second ed., oct 2008.
- [10] Jain, M., Choi, J. I., Kim, T., Bharadia, D., Seth, S., Srinivasan, K., Levis, P., Katti, S., and Sinha, P., "Practical, real-time, full duplex wireless," *Proceedings of the 17th annual international conference on Mobile computing and networking - MobiCom '11*, p. 301, 2011.
- [11] Amjad, M. S., Nawaz, H., Ozsoy, K., Gurbuz, O., and Tekin, I., "A Low-Complexity Full-Duplex Radio Implementation with a Single Antenna," *IEEE Transactions on Vehicular Technology*, vol. 67, no. 3, pp. 2206–2218, 2018.
- [12] Ayar, H. and Gurbuz, O., "Reducing Cyclic Prefix Noise in OFDM Based Full-Duplex Systems," *Third International Balkan Conference on Communications and Networking Skopje, North Macedonia*, p. 6, June 10-12, 2019.
- [13] Edfors, O., Sandell, M., van de Beek, J. J., Wilson, S. K., and Borjesson, P. O., "OFDM Channel Estimation by Singular Value Decomposition," *IEEE Transactions on Communications*, vol. 46, no. 7, pp. 931–939, 1998.
- [14] Turin, G., Clapp, F., Johnston, T., Fine, S., and Lavry, D., "A statistical model of urban multipath propagation," *IEEE Transactions on Vehicular Technology*, vol. 21, pp. 1–9, feb 1972.
- [15] Chayat, N., "Tentative criteria for comparison of modulation methods," *Doc. IEEE 802.11-97/96*, 1997.